

## Zentralpotential

UT12

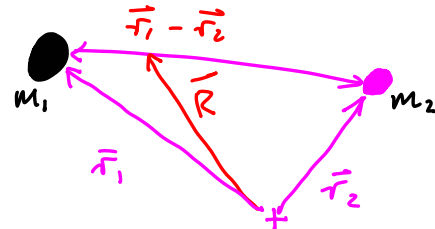
20.05.08

ZP1

## Zweikörperproblem

$$L_{\text{tot}}(\vec{r}_1, \vec{r}_2, \dot{\vec{r}}_1, \dot{\vec{r}}_2) =$$

$$\frac{1}{2} m_1 \dot{\vec{r}}_1^2 + \frac{1}{2} m_2 \dot{\vec{r}}_2^2 - U(\vec{r}_1 - \vec{r}_2) \quad (1)$$



## Symmetrie

1. Translation

## Erhaltungsgröße

Schwerpunktsimpuls

## Vereinfachung

Einteilchenproblem

2. Zeittransl.

Energie

Dgl. 1. Ordnung

3. Rotationsinv.

Drehimpuls

Radialgl.

Schwerpunktskoordinate:

$$\bar{R} = \frac{m_1 \vec{r}_1 + m_2 \vec{r}_2}{m_1 + m_2} \quad (1)$$

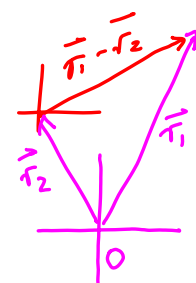
ZP2

Relativkoordinate:

$$\vec{r} = \vec{r}_1 - \vec{r}_2 \quad (2)$$

(1), (2) in (1.1);

$$L_{\text{tot}} = \underbrace{\frac{1}{2} M \dot{\bar{R}}^2}_{\mathcal{L}_M(\bar{R})} + \underbrace{\frac{1}{2} \mu \dot{\vec{r}}^2}_{\mathcal{L}_r(\vec{r}, \dot{\vec{r}})} - U(\vec{r}) \quad (3)$$



$$M = m_1 + m_2 \quad \mu = \frac{m_1 m_2}{m_1 + m_2} = \text{"reduzierte Masse"} \quad (4)$$

Sehr nützliche Vereinfachung: Dynamik von  $\bar{R}$  und  $r$  entkoppelt

$$\left. \begin{aligned} \frac{d}{dt} \left( \frac{\partial L}{\partial \dot{\bar{R}}} \right) &= \frac{\partial L}{\partial \bar{R}} = 0 \\ \Rightarrow \frac{d}{dt} (M \dot{\bar{R}}) &= 0 \end{aligned} \right]$$

$$\bar{R} \stackrel{(3)}{=} \text{zyklisch} \Rightarrow \bar{P} = M \dot{\bar{R}} = \text{Schwerpunktsimpuls ist erhalten.}$$

$$\Rightarrow \bar{R} = \bar{R}_0 + \bar{v}_{sp} t \quad (5)$$

Zwischenrechnung : Transformation zu Schwerpunkt und Relativkoordinaten

[ZP2a]

Transformation :  $\bar{R} = \frac{1}{M}(m_1 \bar{r}_1 + m_2 \bar{r}_2)$  (1a),  $\bar{r} = \bar{r}_1 - \bar{r}_2$  (1b)

Rücktransformation :  $\bar{r}_1 = \bar{R} + \frac{m_2}{M} \bar{r}$  (2a),  $\bar{r}_2 = \bar{R} - \frac{m_1}{M} \bar{r}$  (2b)

$\dot{\bar{r}}_1 = \dot{\bar{R}} + \frac{m_2}{M} \dot{\bar{r}}$  (3a)  $\dot{\bar{r}}_2 = \dot{\bar{R}} - \frac{m_1}{M} \dot{\bar{r}}$  (3b)

Kinetische Energie:  $T = \frac{1}{2} m_1 \dot{\bar{r}}_1^2 + \frac{1}{2} m_2 \dot{\bar{r}}_2^2$  (4)

$$= \frac{1}{2} m_1 \left( \dot{\bar{R}} + \frac{m_2}{M} \dot{\bar{r}} \right)^2 + \frac{1}{2} m_2 \left( \dot{\bar{R}} - \frac{m_1}{M} \dot{\bar{r}} \right)^2$$

$$= \frac{1}{2} (m_1 + m_2) \dot{\bar{R}}^2 + \frac{1}{2} m_1 m_2 2 \dot{\bar{R}} \cdot \dot{\bar{r}} \quad (1) \cancel{(1)}$$

$$+ \frac{1}{2} \frac{1}{M^2} (m_1 m_2^2 + m_2 m_1^2) \dot{\bar{r}}^2$$

$$= \frac{1}{2} M \dot{\bar{R}}^2 + \frac{m_1 m_2}{M} \dot{\bar{r}}^2$$

□. (7)

Relativkoordinate:

$$L(\bar{r}, \ddot{\bar{r}}) \stackrel{(2.4)}{=} \frac{1}{2} m \dot{\bar{r}}^2 - U(\bar{r})$$

(1)

[ZP3]

$L(\bar{r})$  beschreibt ein effektives Eintheilungsproblem für  $\bar{r}$  !!

Wähle

Zylinderkoordinaten  
als verallg. Kond:

$$\bar{r} := (\rho, \varphi, z) = (q_1, q_2, q_3) \quad r^2 = \rho^2 + z^2$$

$$L = L(\rho, \varphi, z; \dot{\rho}, \dot{\varphi}, \dot{z}) = \frac{1}{2} \mu (\dot{\rho}^2 + \rho^2 \dot{\varphi}^2 + \dot{z}^2) - U(\sqrt{\rho^2 + z^2})$$

(LG2):

$q_1 = \rho$ :

$$\frac{d}{dt} \frac{\partial L}{\partial \dot{\rho}} = \frac{\partial L}{\partial \rho} \Rightarrow \mu \ddot{\rho} = \mu \dot{\rho} \dot{\varphi}^2 - \frac{\partial U}{\partial \rho} \quad (4)$$

$q_2 = \varphi$ :

$$\frac{d}{dt} \frac{\partial L}{\partial \dot{\varphi}} = \frac{\partial L}{\partial \varphi} \Rightarrow \frac{d}{dt} \left( \underbrace{\mu \rho^2 \dot{\varphi}}_{\ell} \right) = 0 \quad \begin{matrix} \text{Drehimpuls-} \\ \text{erhaltung!} \end{matrix} \quad (5)$$

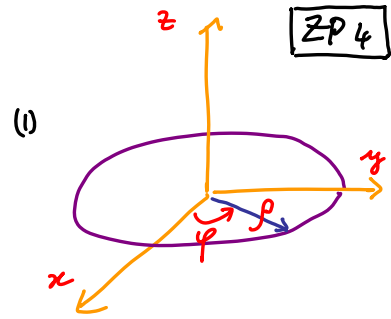
$q_3 = z$ :

$$\frac{d}{dt} \frac{\partial L}{\partial \dot{z}} = \frac{\partial L}{\partial z} \Rightarrow \mu \ddot{z} = - \frac{\partial U}{\partial z} = \left( \frac{z}{\sqrt{\rho^2 + z^2}} \right) \left( \rightarrow U'(\sqrt{\rho^2 + z^2}) \right)$$

## Reduktion zur Radialgleichung

Triviale Lösung v. (3.6):  $\vec{z}(t) = \vec{0}$

$\Rightarrow$  Bewegung nur in  $x-y$  Ebene



Offensichtliche

Lösung v. (3.5):

$$\mu \rho^2 \dot{\varphi} = \ell = \text{konst} = \text{erhaltener Drehimpuls} \quad (2)$$

(1), (2) entspricht der Wahl:  $\hat{z}$ -Achse  $\parallel$  Drehimpulsvektor.

Drehimpulsvektor:

$$\vec{\ell} = \mu \vec{r} \times \dot{\vec{r}} = \ell \hat{z} \quad (3)$$

Radial-Gleichung: (3.4)

$$\mu \ddot{\rho} = \mu \rho \dot{\varphi}^2 - \partial_\rho U(\rho) \quad (1)$$

ZP5

$$\begin{aligned} \ell^2 &= (\mu \rho^2 \dot{\varphi})^2 \\ \dot{\varphi}^2 &= \frac{\ell^2}{\mu^2 \rho^4} \end{aligned} \quad (3)$$

$$\stackrel{(4.2)}{=} \frac{\ell^2}{\mu \rho^3} - \partial_\rho U \stackrel{(7.2)}{=} -\partial_\rho U_{\text{eff}} \quad (2)$$

"Zentrifugalkraft" (favorisiert große  $\rho$ )

Energieerhaltung:

$$\frac{dL}{dt} = 0 \quad \Rightarrow \quad (3.6.5)$$

$$L = \frac{\mu}{2} (\dot{\rho}^2 + \rho^2 \dot{\varphi}^2 + \dot{z}^2) - U(\rho)$$

$$\frac{d}{dt} \left( \underbrace{\sum_i \partial L / \dot{q}_i}_{\approx E = \text{erhalten}} \dot{q}_i - L \right) = 0 \quad (4)$$

$$E = \mu (\dot{\rho} \dot{\rho} + \rho^2 \dot{\varphi} \dot{\varphi} + \dot{z} \dot{z}) - [\frac{\mu}{2} (\dot{\rho}^2 + \rho^2 \dot{\varphi}^2 + \dot{z}^2) - U(\rho)] \quad (5)$$

$$\begin{aligned} &= \frac{\mu}{2} [\dot{\rho}^2 + \rho^2 \dot{\varphi}^2 + \dot{z}^2] + U(\rho) \\ &\stackrel{(3)}{=} \frac{\ell^2}{\mu^2 \rho^4} \end{aligned} \quad (6)$$

ZP6

(1)

Erhaltene Energie:

(1) ist DGL  
1. Ordnung für  $p(t)$

$$E = \frac{\frac{1}{2} \mu \dot{p}^2}{T} + \underbrace{\frac{\ell^2}{2 \mu p^2} + U(p)}_{U_{\text{eff}}(p)}$$

"Effektives Potential  
für Radialbewegung"

Effektive Radialkraft:

$$-\partial_p U_{\text{eff}} = \frac{\ell^2}{\mu p^3} - \partial_p U = (5.2) \quad \text{rechts} \quad (2)$$

Wir kennen nur  
im Prinzip:

$$\bar{R} = \bar{R}_0 + \bar{\omega}_{sp} t, \quad \begin{array}{lll} p(t) & \text{aus} & (6.1) \\ \varphi(t) & \text{aus} & (4.2) \\ z(t) & \text{aus} & (4.1) \end{array} \quad \dot{\varphi} = \frac{\ell}{\mu p^2} \quad (3)$$

Zahl der Integrations-  
konstanten:

Allgemein erwartet:

Lösung v. 3 DGL 2. Ord  
für je  $\bar{r}_i(t)$  und  $\bar{F}_{\text{ext}}$   
erfordert 12 Int.-Konst:  
 $\bar{r}_i(0), \dot{\bar{r}}_i(0), \ddot{\bar{r}}_i(0), \dddot{\bar{r}}_i(0)$

Wir haben hier:

$$\left. \begin{array}{ll} \bar{R}_0, \bar{\omega}_{sp} : & 3+3 \\ \ell, E : & 2 \\ z(0), \dot{z}(0) : & 2 \\ p(0), \varphi(0) : & 2 \end{array} \right\} 12 \quad (4)$$

Lösung v. Radialgl:

$$(6.1) : E = \frac{1}{2} \dot{p}^2 + U_{\text{eff}}(p) \quad (1) \quad \boxed{ZP7}$$

$$\frac{dp}{dt} = \dot{p} = \pm \left[ \frac{2}{\mu} (E - U_{\text{eff}}(p)) \right]^{\frac{1}{2}} \quad (8.1) \quad (2)$$

Separation d. Variablen:

Integriere:

$$t - t_0 = \int_{t_0}^t dt' = \int_{p_0}^p \frac{dp'}{\frac{2}{\mu} [E - U_{\text{eff}}(p')]} = \text{Funktion von } p \quad (3)$$

$p(t) :$

$$\Rightarrow t = t^{(+)}(p) \text{ bekannt,} \quad (4)$$

diese Relation invertieren  $\Rightarrow p = p(t)$  bekannt! (5)

$\varphi(t) :$

$$p(t) \text{ eingesetzt in } \dot{\varphi} = \frac{\ell}{\mu p^2} \stackrel{(4.2)}{\Rightarrow} \dot{\varphi} = \dot{\varphi}(t) \text{ bekannt!} \quad (6)$$

Integrieren,  $\Rightarrow \varphi = \varphi(t)$  bekannt! (7)

Bahnenkurve:  $p = p(\varphi)$

(ohne Zeitabhängigkeit anzugeben)

[ZP8]

Analog zu (L49.1):

$$\frac{d\varphi}{dp} = \frac{d\varphi}{dt} \frac{dt}{dp} = \frac{\dot{\varphi}}{\dot{p}} = \left( \frac{l}{\mu p^2} \right) \frac{1}{\left[ \frac{2}{\mu} (E - U_{\text{eff}}(p)) \right]^{1/2}} \quad (1)$$

Separation d. Variablen:

Integration:

$$\varphi - \varphi_0 = \int_{\varphi_0}^{\varphi} dp' = \int_{p_0}^p \frac{dp'}{\left[ \frac{2}{\mu} (E - U_{\text{eff}}(p')) \right]^{1/2}} \quad (2)$$

$= \text{Funktion v. } p$

$$\varphi = \varphi(p) \quad \text{bekannt} \quad (3)$$

Diese Relation invertieren  $\Rightarrow p = p(\varphi)$  bekannt. (4)

### Qualitative Diskussion der Bewegung (WICHTIG!)

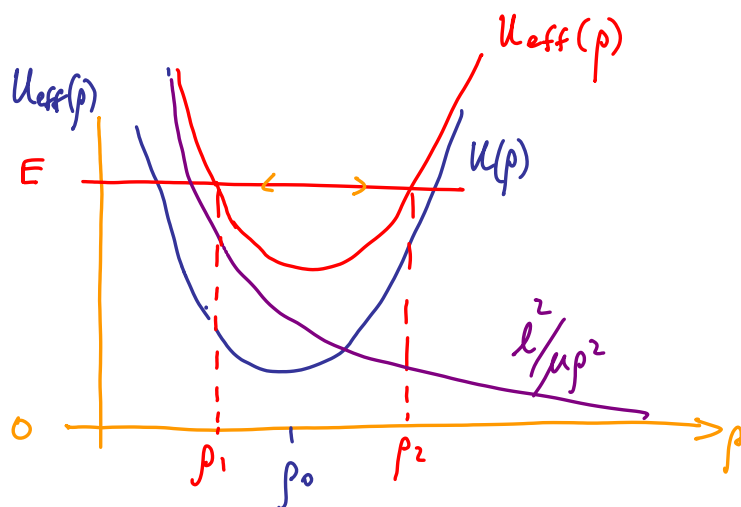
[ZP9]

Typischer Fall 1:

z.B. für

$$U(p) = \alpha(p - p_0)^2$$

Harmonische Osz. mit  
Gleichgewichtsabstand  $p_0$   
(z.B. Vib. eines  
2-atomigen Moleküls)



für  $\begin{cases} p \rightarrow \infty \\ p \rightarrow 0 \end{cases}$   $U_{\text{eff}}(p) \rightarrow \infty$

{ nur "gebundene"  
Bewegung möglich } (5)

$p_1, p_2$ : Umkehrpunkte bei  $U_{\text{eff}}(p_1) = U_{\text{eff}}(p_2) = E$  (6)

## Typischer Fall 2:

Z.B. für

$$U(p) = -\frac{\alpha}{p}$$

Gravitations- oder Coulomb-Potential

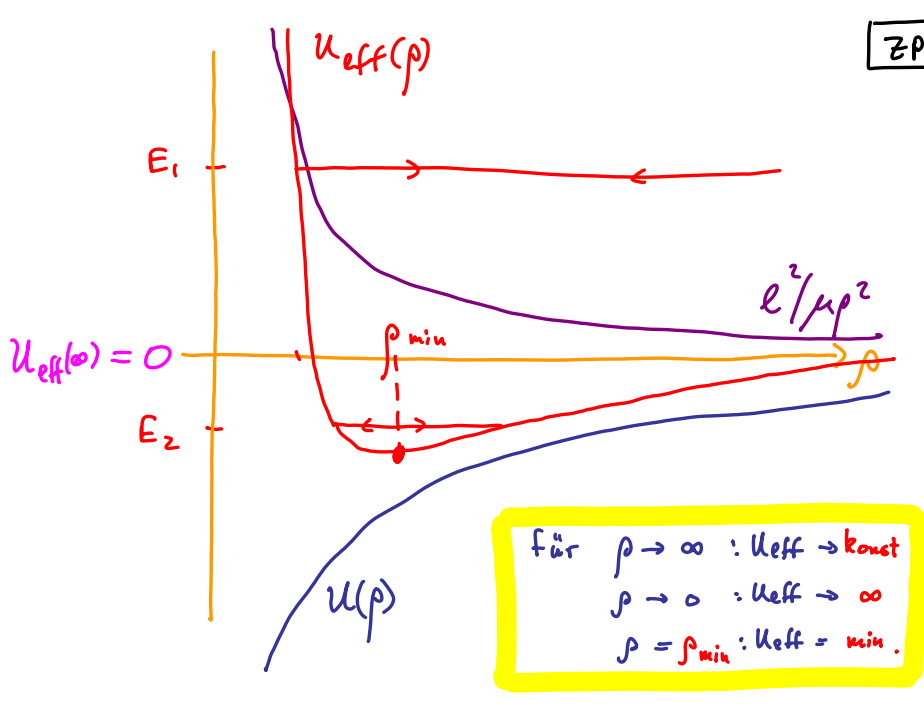
2 Arten von Bewegung sind möglich:

(i)

$$E_1 > U_{\text{eff}}(\infty) : \quad \leftarrow \text{hier } = 0 \text{ gemacht}$$

(ii)

$$E_2 < U_{\text{eff}}(\infty) :$$



## Typischer Fall 3:

Z.B.: für r

$$U(p) = -\frac{\alpha}{p^3}$$

3 Arten v. Bewegung sind möglich:

(i)

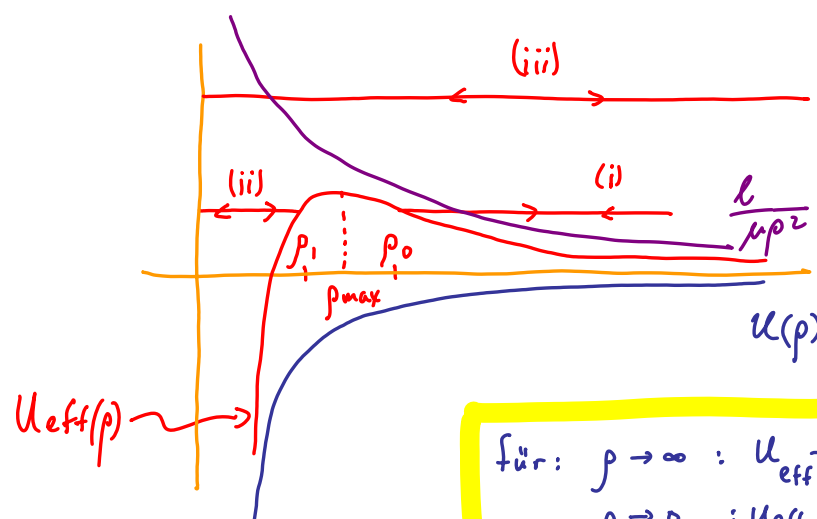
Streuung:  $p \geq p_0$  (immer) Umkehrpunkt

(ii)

Gebundene Bewegung:  $0 \leq p \leq p_1$

(iii)

Fall ins Zentrum (läuft durch's Zentrum hindurch)



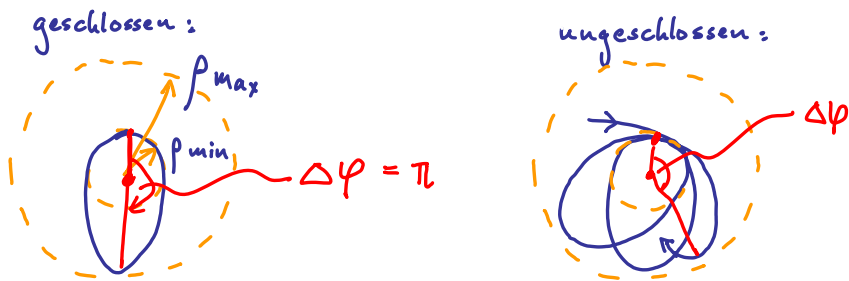
für:  $p \rightarrow \infty : U_{\text{eff}} \rightarrow \text{konst}$   
 $p \rightarrow 0 : U_{\text{eff}} \rightarrow -\infty$   
 $p = p_{\max} : U_{\text{eff}} = \max$

ZPK II

Gebundene Bwg: ist Bahn geschlossen oder nicht? hängt von  $U(p)$  ab!

Z-P 12

$\Delta\varphi$  sei  
Winkeländerung  
zwischen  
 $p = p_{\min}, p_{\max}$



Bedingung für  
geschlossene Bwg:

Bahn schließt nach  $n$  Schleifen:  $n 2\Delta\varphi = 2\pi m$  (1)

$$\Delta\varphi = \varphi - \varphi_0 \stackrel{(8.2)}{=} \int_{p_{\min}}^{p_{\max}} \frac{dp'}{\mu} \frac{(l/\mu p^2)}{\left[ \frac{2}{\mu} (E - U_{\text{eff}}(p')) \right]^{1/2}} \stackrel{??}{=} \frac{\pi m}{n} \quad \text{hängt v. } U \text{ ab!} \quad (2)$$

Nachrechnen:

$$\Delta\varphi = \begin{cases} \pi & \text{für } U = -\frac{\alpha}{p} \stackrel{(2)}{\Rightarrow} n = 1 \Rightarrow \text{Bahn ist Ellipse} \\ \pi/2 & \text{für } U = \alpha p^2 \stackrel{(2)}{\Rightarrow} n = 2 \Rightarrow \text{Bahn schließt} \\ & \text{nach 2 Schleifen} \end{cases} \quad (3)$$

Kepplerproblem (Fließbach, Kap. 17)

Z-P 13

Gravitations-  
oder Coulomb-Pot:

$$U(r) = -\frac{\alpha}{r} \quad \text{z.B.: } \alpha = \begin{cases} G m_1 m_2 & \text{Grav. Pot} \\ -q_1 q_2 & \text{Coulomb-Pot} \end{cases} \quad (1)$$

Effektives Pot:

$$U_{\text{eff}}(p) \stackrel{(7.1)}{=} -\frac{\alpha}{p} + \frac{l^2}{2\mu p^2} \quad (2)$$

Für diese Form ist Bahnkurve lösbar!

$$(8.2): \quad \varphi - \varphi_0 = \int_{p_0}^p \frac{dp'}{\mu} \frac{(l/\mu p^2)}{\left\{ \frac{2}{\mu} (\mu E - [-\mu \alpha/p + \frac{l^2}{2\mu p^2}]) \right\}^{1/2}} \quad (3)$$

$$\varphi - \varphi_0 \stackrel{\text{Bronstein}}{=} \arccos \left\{ \frac{l/p - \mu \alpha/l}{[2\mu E + \mu^2 \alpha^2/l^2]^{1/2}} \right\} + \text{konst.} \quad (4)$$

durch Wahl v.  $\varphi_0$

Definition:

$$\text{Parameter: } p = \frac{l^2}{\mu \alpha} ,$$

ZP 14

(1)

$$\text{Exzentrizität: } \varepsilon = \left[ 1 + \frac{2E l^2}{\mu \alpha^2} \right]^{\frac{1}{2}}$$

(2)

$$\frac{1}{l} \frac{\mu \alpha}{l} \cos \varphi \stackrel{(13.4)}{=} :$$

$$\frac{\mu \alpha}{l^2} \cos \varphi = \frac{l/p - \frac{1}{l} \frac{\mu \alpha}{l}}{\left[ \frac{2E l^2}{\mu \alpha^2} + \frac{\mu^2 \alpha^2 l^2}{l^2 \mu^2 \alpha^2} \right]^{\frac{1}{2}}} = \varepsilon$$

(3)

$$\frac{1}{p} \cos \varphi = \left[ \frac{1}{p} - \frac{1}{l} \right] \frac{1}{\varepsilon}$$

(4)

$$\frac{1}{p} = \frac{1}{l} [1 + \varepsilon \cos \varphi]$$

(5)

Bahnekurve:

(durch cleveren Ausnutzung von E- und l-Erhaltung!)

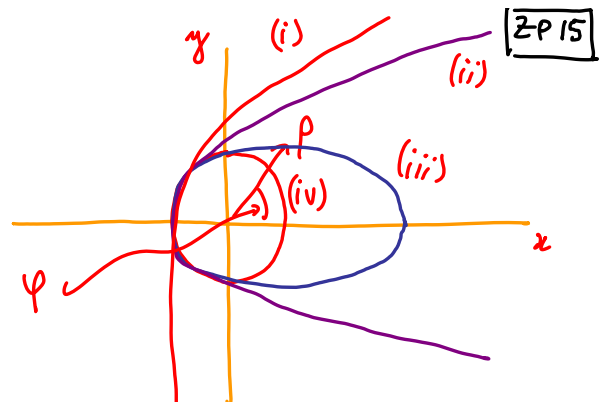
$$p(\varphi) = \frac{p}{1 + \varepsilon \cos \varphi}$$

(6)

(14.6) beschreibt Kegelschnitte:

$$p(\varphi) = \frac{p}{1 + \varepsilon \cos \varphi}$$

$$\varepsilon = \left[ 1 + \frac{2E l^2}{\mu \alpha^2} \right]^{\frac{1}{2}}$$



ZP 15

$$(i) \quad E > 0 \quad \stackrel{(14.2)}{\Rightarrow} \quad \varepsilon > 1 \quad \Rightarrow \quad \text{Hyperbel} \quad \left. \begin{array}{l} \\ \end{array} \right\} \varepsilon \cos \varphi \rightarrow -1 \text{ möglich} \Rightarrow p \rightarrow \infty \text{ möglich}$$

$$(ii) \quad E = 0 \quad \Rightarrow \quad \varepsilon = 1 \quad \Rightarrow \quad \text{Parabel} \quad \left. \begin{array}{l} \\ \end{array} \right\} \varepsilon \cos \varphi \rightarrow -1 \text{ möglich} \Rightarrow p \rightarrow \infty \text{ möglich}$$

$$(iii) \quad E < 0 \quad \Rightarrow \quad \varepsilon < 1 \quad \Rightarrow \quad \text{Ellipse} \quad \left. \begin{array}{l} \\ \end{array} \right\} \varepsilon \cos \varphi \rightarrow -1 \text{ möglich} \Rightarrow p \rightarrow \infty \text{ möglich}$$

$$\left\{ \begin{array}{l} p_{\max} = \frac{p}{1-\varepsilon} \\ p_{\min} = \frac{p}{1+\varepsilon} \\ \Delta \varphi = \pi \end{array} \right. \quad \text{(vergleiche 12.3)}$$

$$(iv) \quad E = -\frac{\mu \alpha^2}{2l} \Rightarrow \varepsilon = 0 \Rightarrow \text{Kreis} \quad p = p, \text{ unabhängig von } \varphi ! \quad (3)$$

Bahngleichung:

$$\rho = \frac{P}{1 + \varepsilon \cos \varphi} \quad (1)$$

ZP 16

Wir zeigen nun, dass (1) eine Ellipse beschreibt:

$$\rho = \sqrt{x^2 + y^2}, \quad \cos \varphi = \frac{x}{\rho} \quad (2)$$

(2)

(3)

$$P = \rho + \varepsilon \rho \cos \varphi \quad (4)$$

$$(P - \varepsilon x)^2 = \rho^2 \stackrel{(2)}{=} x^2 + y^2 \quad (5)$$

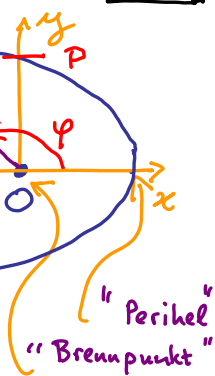
(2)

(4)

$$P^2 \stackrel{(4)}{=} x^2(1 - \varepsilon^2) + 2\varepsilon x P + y^2 \quad (5)$$

$$= (1 - \varepsilon^2) \left[ x + \varepsilon \frac{P}{1 - \varepsilon^2} \right]^2 - \varepsilon^2 \frac{\frac{b^2}{P^2}}{1 - \varepsilon^2} + y^2 \quad (6)$$

$$\begin{aligned} a &= \frac{P}{1 - \varepsilon^2} \quad (7) \\ \text{große } \} &\text{ Halbachse} \\ \text{kleine } \} & \\ b &= \frac{P}{\sqrt{1 - \varepsilon^2}} \quad (8) \\ &\stackrel{?}{=} \sqrt{P} a \quad (9) \end{aligned}$$



$$\frac{1}{b^2} \left[ (9) + \varepsilon^2 b^2 \right]: \quad \frac{\frac{P^2}{b^2} + \varepsilon^2 b^2}{b^2} = \frac{\frac{1}{b^2} (1 - \varepsilon^2) \left[ x + \varepsilon a \right]^2}{b^2} + \frac{y^2}{b^2} \quad (10)$$

$$\stackrel{(8)}{=} \frac{1}{\frac{P^2}{b^2}} \stackrel{(9)}{=} \frac{\frac{1}{P^2} \frac{P^2}{a^2}}{a^2} = \frac{1}{a^2} \quad (7)$$

(6.10) = Ellipse:

$$\frac{(x + \varepsilon a)^2}{a^2} + \frac{y^2}{b^2} = 1 \quad (11)$$

ZP 17

Check Skizze:

$x = 0:$

$$y^2 = (1 - \varepsilon^2)b^2 \stackrel{(16.7)}{=} P^2 \quad \hookrightarrow \quad y = \pm P \quad (2)$$

$x = -a\varepsilon:$

$$y^2 = b^2 \quad \hookrightarrow \quad y = \pm b \quad [b = \text{kleine Halbachse}] \quad (3)$$

$y = 0:$

$$x^2 + 2\varepsilon ax + a^2(\varepsilon^2 - 1) = 0 \quad (4)$$

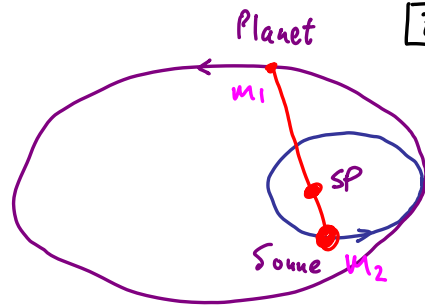
$$x = -\varepsilon a \pm \frac{1}{2} \sqrt{4\varepsilon^2 a^2 - 4a^2(\varepsilon^2 - 1)} \quad (5)$$

$$= -\varepsilon a \pm a = a \left\{ \frac{1 - \varepsilon}{-1 - \varepsilon} \right\} \quad (6)$$

$\uparrow [a = \text{große Halbachse}]$

## Kepferschen Gesetze:

1. Planetenbahnen sind Ellipsenbahnen mit Sonne in einem Brennpunkt.



Herleitung:

$$\vec{r}_{\text{Sonne}} := \vec{r}_2 = \vec{R} - \frac{m_1}{M} \vec{r} \stackrel{(2a.2b)}{=} \underset{\substack{\text{im SP-System} \\ \text{SPS}}}{- \left( \frac{m_p}{M} \right) \vec{r}} \approx 0 \quad (1)$$

$\leq 10^{-3}$ , sogar für Jupiter.

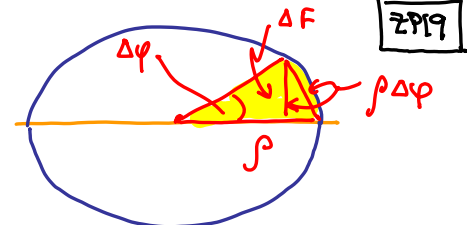
$$\vec{r}_{\text{Planet}} := \vec{r}_1 = \vec{R} + \frac{m_2}{M} \vec{r} \stackrel{(2a.2a)}{=} \underset{\substack{\text{SPS} \\ \downarrow}}{\left( \frac{m_2}{M} \right) \vec{r}} \approx \vec{r} \quad (2)$$

$> 0.999$

$\Rightarrow \vec{r}_{\text{Sonne}}, \vec{r}_{\text{Planet}}$  beschreiben gegenläufige Ellipsen;

Schwerpunkt liegt in einem Brennpunkt.

2. Die vom Fahrstrahl pro Zeit überstrichene Fläche  $dF$  ist konstant



Herleitung:

$$\frac{\Delta F}{\Delta t} = \frac{1}{2} \rho \cdot \rho \frac{\Delta \phi}{\Delta t} = \frac{1}{2} \rho^2 \dot{\phi} \stackrel{(4.2)}{=} \frac{1}{2} \frac{l}{\mu} \quad (1)$$

3. Quadrat der Umlaufzeit ist proportional zur dritten Potenz der großen Halbachse.

Herleitung:

Fläche der Ellipse:

$$\begin{aligned} \text{ap} &\uparrow (16.5) \quad \xrightarrow{(14.1)} \mu/\alpha \\ \int (\mu/e)^2 = a \cdot p M_{\text{er}}^2 &= a \cdot \mu/\alpha \end{aligned}$$

$$\pi_{ab} = F = \int_{\text{eine Umlaufung}} dF = \int_0^T \left( \frac{dF}{dt} \right) dt = \frac{T l}{2 \mu} \quad (2)$$

$\underbrace{\quad}_{(1)} = \frac{1}{2} \frac{l}{\mu}$

$$\begin{aligned} T^2 &= (2\pi a)^2 \cdot \left( \frac{b\mu/l}{\alpha} \right)^2 = 4\pi^2 \frac{\mu}{\alpha} a^3 \quad (3) \end{aligned}$$

$$\frac{\mu}{\alpha} = \frac{m_1 m_2}{m_1 + m_2} \cdot \frac{1}{G m_1 m_2} = \frac{1}{G (m_{\text{Pl}} + m_{\text{S}})} \approx \frac{1}{G m_{\text{S}}} \quad (4)$$

= etwa gleich für alle Planeten.